

01;07;09

Поверхностные электромагнитные волны в фарадеевских средах

© А.Н. Фурс, Л.М. Барковский

Белорусский государственный университет,
220050 Минск, Белоруссия
e-mail: Barkovsky@bsu.by

(Поступило в Редакцию 10 июля 2002 г.)

Предсказывается эффект однонаправленного распространения поверхностных электромагнитных волн на границе раздела изотропной фарадеевской среды и изотропной оптически неактивной среды. Такие волны могут быть возбуждены, когда напряженность внешнего магнитного поля превышает некоторое пороговое значение. Проводится анализ решений дисперсионного уравнения и устанавливаются условия существования поверхностных волн.

Введение

В последние годы наряду с исследованиями поверхностных электромагнитных волн в поверхностно активных средах с отрицательными диэлектрическими проницаемостями (металлах, плазме и т.п. [1]) интенсивно изучается новый тип поверхностных волн — бездисперсионные поляритоны, существование которых обусловлено анизотропией одной или двух пограничных сред [2–5]. Такие волны могут возникать на границах раздела положительного одноосного кристалла и изотропной среды, одинаковых положительных одноосных кристаллов со скрещенными осями, двухосного кристалла и изотропной среды. Общие условия существования поверхностных волн такого типа на границе раздела анизотропной и изотропной диэлектрических сред с положительно определенными тензорами диэлектрических проницаемостей были найдены в работе [6], а условия их резонансного возбуждения в структурах изотропный слой–анизотропная подложка рассматривались в [7]. Характерной особенностью бездисперсионных поверхностных волн является то, что они могут распространяться лишь в некоторых направлениях вдоль границы раздела. Угловая ширина разрешенных направлений тем больше, чем выше степень анизотропии пограничных сред.

Использование в качестве пограничных сред параметрических материалов, анизотропия которых может наводиться и перестраиваться внешними полями, открывает широкие возможности управления бездисперсионными поверхностными поляритонами. В данной работе мы исследуем проблему магнитооптического управления поверхностными волнами на границе раздела фарадеевской и оптически неактивной изотропной среды, когда внешнее магнитное поле приложено вдоль границы раздела. С помощью формализма тензоров поверхностных импедансов мы выводим дисперсионное уравнение, исследуем симметрии его решений и находим необходимые и достаточные условия существования поверхностных электромагнитных волн, из которых следует, что граница оптически активной и неактивной сред проявляет вентиляльные свойства по отношению к таким волнам. Рассматривается также частный случай

распространения поверхностных волн в направлении, перпендикулярном к направлению внешнего магнитного поля. Вывод выражений для тензоров поверхностных импедансов, необходимых для построения дисперсионного уравнения, вынесен в Приложение.

Дисперсионное уравнение для поверхностных волн на границе раздела фарадеевской и изотропной неактивной среды

Для монохроматических волн с частотой ω в прозрачных фарадеевских оптических активных средах уравнения связи имеют вид [8]

$$\mathbf{E} = \varepsilon^{-1} \mathbf{D}, \quad \mathbf{H} = \mathbf{B},$$

где обратный тензор диэлектрической проницаемости ε^{-1} (тензор диэлектрической проницаемости) линейно зависит от напряженности внешнего магнитного поля \mathfrak{H}

$$\varepsilon_{ik}^{-1} = (\varepsilon^0)_{ik}^{-1} + i e_{ikl} F_{lm} \mathfrak{H}_m. \quad (1)$$

В (1) $F = (F_{ik})$ — тензор Фарадея, e_{ikl} — полностью антисимметричный псевдотензор третьего ранга (псевдотензор Леви–Чивита), по повторяющимся индексам проводится суммирование от 1 до 3. Далее мы рассматриваем оптически изотропные фарадеевские среды, для которых тензоры $(\varepsilon^0)^{-1}$ и F пропорциональны единичному $(\varepsilon^0)_{ik}^{-1} = a \delta_{ik}$, $F_{ik} = f \delta_{ik}$, где δ_{ik} — символ Кронекера, a и f скаляры. Для таких сред соотношение (1) принимает вид

$$\varepsilon^{-1} = a + i b \mathbf{c}^\times, \quad (2)$$

где b — скаляр, линейно зависящий от модуля \mathfrak{H} напряженности внешнего поля; \mathbf{c}^\times — тензор, дуальный [9,10] единичному вектору \mathbf{c} , при этом вектор \mathbf{c} параллелен \mathfrak{H} .

Искусственная оптическая активность проявляется во вращении плоскости поляризации линейно поляризованного света (эффект Фарадея). Параметры a и b , входящие в (2), выражаются через показатель преломления

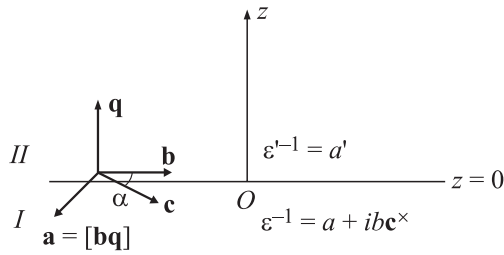


Рис. 1. Граница раздела фарадеевской и изотропной оптически неактивной среды.

n_0 лнейно поляризованной волны, распространяющейся вдоль \mathbf{c} , длину этой волны в вакууме $\chi_0 = 2\pi c/\omega$ и постоянную Верде V следующим образом [8]

$$a = \frac{1}{n_0^2}, \quad b = \frac{V\chi_0\mathfrak{H}}{\pi n_0^3}. \quad (3)$$

Не теряя общности, далее мы считаем, что $0 \leq b < a$, выбирая единичный вектор \mathbf{c} сонаправленным с вектором \mathfrak{H} для фарадеевских сред с положительным вращением ($V > 0$) и противоположно направленным вектору \mathfrak{H} для сред с отрицательным вращением ($V < 0$).

Пусть изотропная фарадеевская среда I ($z < 0$) с тензором диэлектрической непроницаемости ε^{-1} (2) граничит с изотропной оптически неактивной средой II ($x > 0$, рис. 1) с диэлектрической непроницаемостью $a' = 1/\varepsilon' > 0$, при этом внешнее магнитное поле приложено вдоль границы раздела (вектор \mathbf{c} перпендикулярен единичному вектору \mathbf{q} нормали к границе, направленному вдоль оси Oz). Ниже мы показываем, что при выполнении условий

$$b > a - a' \quad (a' < a), \quad b > \sqrt{a'(a' - a)} \quad (a' > a)$$

в такой системе возможно возбуждение поверхностных электромагнитных волн, распространяющихся вдоль определенных направлений \mathbf{b} ($\mathbf{b}^2 = 1$) по отношению к вектору \mathbf{c} .

Уравнения поверхностной электромагнитной волны в среде I представляются в виде

$$\begin{aligned} \mathbf{H}(\mathbf{r}, t) &= \sum_{s=1}^2 C_s \mathbf{H}_s^0 \exp[ik(\mathbf{b} - i\eta_s \mathbf{q})\mathbf{r} - i\omega t], \\ \mathbf{E}(\mathbf{r}, t) &= \sum_{s=1}^2 C_s \mathbf{E}_s^0 \exp[ik(\mathbf{b} - i\eta_s \mathbf{q})\mathbf{r} - i\omega t], \end{aligned} \quad (4)$$

где k — проекция волнового вектора на направление \mathbf{b} ; \mathbf{H}_s^0 и \mathbf{E}_s^0 — амплитуды неоднородных парциальных волн на границе раздела; η_s — комплексные коэффициенты, характеризующие затухание этих волн при удалении от границы раздела ($\text{Re}\eta_s > 0$); C_s — весовые коэффициенты.

Поля во второй среде описываются аналогичными уравнениями, в которые входят амплитуды \mathbf{H}'_s^0 , \mathbf{E}'_s^0 и

коэффициенты C'_s , η'_s , при этом $\text{Re}\eta'_s < 0$. Величины \mathbf{H}_s^0 , \mathbf{E}_s^0 , η_s , \mathbf{H}'_s^0 , \mathbf{E}'_s^0 , η'_s можно найти, подставляя (4) в уравнения Максвелла и уравнения связи, а проекция волнового вектора k и весовые коэффициенты C_s , C'_s определяются из условий непрерывности тангенциальных составляющих полей на границе (граничных условий). Тангенциальные составляющие результирующих амплитуд магнитного и электрического полей на границе

$$\mathbf{H}_\tau^0 = \sum_{s=1}^2 \mathbf{H}_{s\tau}^0, \quad \mathbf{H}'_0 = \sum_{s=1}^2 \mathbf{H}'_{s\tau}{}^0,$$

$$[\mathbf{qE}^0] = \sum_{s=1}^2 [\mathbf{qE}_s^0], \quad [\mathbf{qE}'^0] = \sum_{s=1}^2 [\mathbf{qE}'_s{}^0]$$

связаны между собой с помощью тензоров поверхностных импедансов γ и γ' пограничных сред [11]

$$[\mathbf{qE}^0] = \gamma \mathbf{H}_\tau^0, \quad [\mathbf{qE}'^0] = \gamma' \mathbf{H}'_0. \quad (5)$$

Из уравнений (5) и граничных условий $\mathbf{H}_\tau^0 = \mathbf{H}'_0$, $[\mathbf{qE}^0] = [\mathbf{qE}'^0]$ следует, что

$$(\Gamma - \Gamma')\mathbf{H}_\tau^0 = 0, \quad (6)$$

где $\Gamma = -iv\gamma$, $\Gamma' = -iv\gamma'$ и $v = \omega/(ck)$ — безразмерная приведенная частота (фазовая скорость волны в единицах скорости света в вакууме).

Полагая, что (6) имеет нетривиальные решения $\mathbf{H}_\tau^0 \neq 0$, получаем дисперсионное уравнение

$$(\overline{\Gamma - \Gamma'})_t = 0. \quad (7)$$

В (7) черта сверху обозначает тензор, взаимный к $\Gamma - \Gamma'$, а индекс t — след этого тензора [9,10].

Для поверхностных электромагнитных волн вида (4) в прозрачных средах тензоры Γ и Γ' эрмитовы и могут быть рассчитаны с помощью общих формул, полученных в работах [5,6]. Для фарадеевской среды (см. Приложение)

$$\begin{aligned} \Gamma &= \frac{1}{a - v^2 + a\eta_1\eta_2} \\ &\times \left\{ v^2 a (\eta_1 + \eta_2) \mathbf{b} \otimes \mathbf{b} - v^2 b \cos \alpha (\mathbf{b} \otimes \mathbf{a} + \mathbf{a} \otimes \mathbf{b}) \right. \\ &\left. + [b \sin \alpha (a - v^2 + a\eta_1\eta_2) - a^2 \eta_1 \eta_2 (\eta_1 + \eta_2)] \mathbf{a} \otimes \mathbf{a} \right\}, \end{aligned} \quad (8)$$

где $\mathbf{a} = [\mathbf{bq}]$ ($\mathbf{a}^2 = 1$), α — угол между векторами \mathbf{b} и \mathbf{c} ($\mathbf{c} = \mathbf{b} \cos \alpha + \mathbf{a} \sin \alpha$), а коэффициенты затухания парциальных волн $\eta_1 \eta_2$ даются формулой

$$\begin{aligned} \eta_{1,2} &= \frac{1}{a} \left[a(a - v^2) - \frac{1}{2} b^2 \cos^2 \alpha \right. \\ &\left. \pm \frac{1}{2} b \cos \alpha \sqrt{4av^2 + b^2 \cos^2 \alpha} \right]^{1/2}. \end{aligned} \quad (9)$$

Для изотропной среды

$$\Gamma' = -v^2 \sqrt{\frac{a'}{a' - v^2}} \mathbf{b} \otimes \mathbf{b} + \sqrt{a'(a' - v^2)} \mathbf{a} \otimes \mathbf{a} \quad (10)$$

и

$$\eta'_{1,2} = -\sqrt{\frac{a' - v^2}{a'}}. \quad (11)$$

Подставляя выражения (8) и (10) в (7), получаем дисперсионное уравнение для поверхностных волн, распространяющихся на границе раздела фарадеевской и изотропной сред,

$$G(v, \alpha) = 0, \quad (12)$$

где

$$\begin{aligned} G(v, \alpha) = & \frac{(\eta_1 + \eta_2)ab \sin \alpha}{a - v^2 + a\eta_1\eta_2} \\ & - \frac{a^3\eta_1\eta_2(\eta_1 + \eta_2)^2 + v^2b^2 \cos^2 \alpha}{(a - v^2 + a\eta_1\eta_2)^2} \\ & + \left[b \sin \alpha - \frac{a^2\eta_1\eta_2(\eta_1 - \eta_2)}{a - v^2 + a\eta_1\eta_2} \right] \sqrt{\frac{a'}{a' - v^2}} \\ & - \frac{a(\eta_1 + \eta_2)}{a - v^2 + a\eta_1\eta_2} \sqrt{a'(a' - v^2)} - a'. \quad (13) \end{aligned}$$

При заданных параметрах a, b, a', α из соотношений (12), (13), (9) определяется приведенная частота $v = v_S$ и, следовательно, проекция $k = k_S$ волнового вектора поверхностной волны на направление \mathbf{b} . При этом предполагается, что

$$0 \leq v_S < \hat{v}_L = \min(v_L, v'_L), \quad (14)$$

где $v_L = \sqrt{a - b|\cos \alpha|}$, $v'_L = \sqrt{a'}$ — предельные частоты волн в фарадеевской и изотропной средах (см. также (A8)).

Условие (14) соответствует тому, что энергия поля электромагнитной волны локализована вблизи границы раздела как в одной, так и в другой пограничной среде, т.е. волна по сути является поверхностной. Отсутствие решений уравнения (12) в интервале $[0, \hat{v}_L)$, называемом субсветовым интервалом [6], означает невозможность возбуждения поверхностной волны вдоль заданного направления \mathbf{b} .

Анализ решений дисперсионного уравнения. Условия существования поверхностных волн

Дисперсионное уравнение (12) сохраняет свой вид при замене угла α на $\pi - \alpha$, при этом $\eta_1(\pi - \alpha) = \eta_2(\alpha)$, $\eta_2(\pi - \alpha) = \eta_1(\alpha)$. Таким образом, если поверхностная волна может распространяться вдоль направления, задаваемого некоторым вектором \mathbf{b} , то она может распространяться и вдоль направления, зеркально отраженного в плоскости с нормалью \mathbf{c} .

В то же время дисперсионное уравнение неинвариантно относительно замены $\alpha \rightarrow \alpha - \pi$ (изменения направления распространения на противоположное $\mathbf{b} \rightarrow -\mathbf{b}$) при условии, что коэффициенты η_1, η_2 остаются положительными, а η'_1, η'_2 — отрицательными. Это означает, что в общем случае отсутствует обратимость хода поверхностных электромагнитных волн на границе фарадеевской и изотропной неактивной среды и такая граница проявляет вентильные свойства. Хотя при наличии решения $v = v_S$ у уравнения (12) имеется также решение $v = -v_S$, замена $v_S \rightarrow -v_S$ (или $k_S \rightarrow -k_S$) неэквивалентна замене $\mathbf{b} \rightarrow -\mathbf{b}$ и соответствует не только обращению хода волны, но и экспоненциальному росту ее амплитуды при удалении от границы раздела (см. (4)). Такая волна физически нереализуема.

На левой границе $v = 0$ субсветового интервала коэффициенты η_1 и η_2 (9) равны

$$\eta_1(0) = 1, \quad \eta_2(0) = \frac{1}{a} \sqrt{a^2 - b^2 \cos^2 \alpha}$$

и функция $G(v, \alpha)$, входящая в дисперсионное уравнение, отрицательна

$$G(0, \alpha) = 2 \left(b \sin \alpha - \sqrt{a^2 - b^2 \cos^2 \alpha} - a' \right) < 0.$$

Если решение дисперсионного уравнения существует, то оно единственно [6]. Следовательно, уравнение (12) имеет решение, если на правой границе $v = \hat{v}_L$ субсветового интервала функция G положительна

$$G_L = (\alpha) = \lim_{v \rightarrow \hat{v}_L} G(v, \alpha) > 0. \quad (15)$$

Условие (15) является необходимым и достаточным условием существования поверхностных электромагнитных волн на границе раздела фарадеевской и изотропной неактивной среды.

В (15) $G(v, \alpha)$ можно заменить на функцию $R(v, \alpha) = \sqrt{a' - v^2} G(v, \alpha)$, конечную при $v = \sqrt{a'}$. На рис. 2 приведены зависимости $R_L(\alpha) = R(\hat{v}_L, \alpha)$ для разных значений материальных параметров a, b, a' . На осях абсцисс выделены те интервалы углов α , для которых дисперсионное уравнение (12) имеет решения, и определяющие направления, вдоль которых могут распространяться поверхностные электромагнитные волны. В зависимости от значений параметров реализуется один из трех случаев: а) в плоскости раздела сред нет направлений, вдоль которых могут распространяться поверхностные волны (рис. 2, а); б) распространение волн возможно, если α принадлежит одному из интервалов (α_1, α_2) или $(\pi - \alpha_2, \pi - \alpha_1)$, при этом $0 < \alpha_1 < \alpha_2 < \pi/2$ (рис. 2, б); в) разрешенные направления распространения определяются значениями α , лежащими в интервале $(\alpha_1, \pi - \alpha_1)$, при этом $0 < \alpha_1 < \pi/2$ (рис. 2, в). Иными словами, эти направления лежат внутри угла шириной $\pi - 2\alpha_1$ с биссектрисой, перпендикулярной \mathbf{c} .

В случаях б) и в) проявляется упомянутая выше необратимость распространения поверхностных электромагнитных волн, выражающаяся в отсутствии интервалов

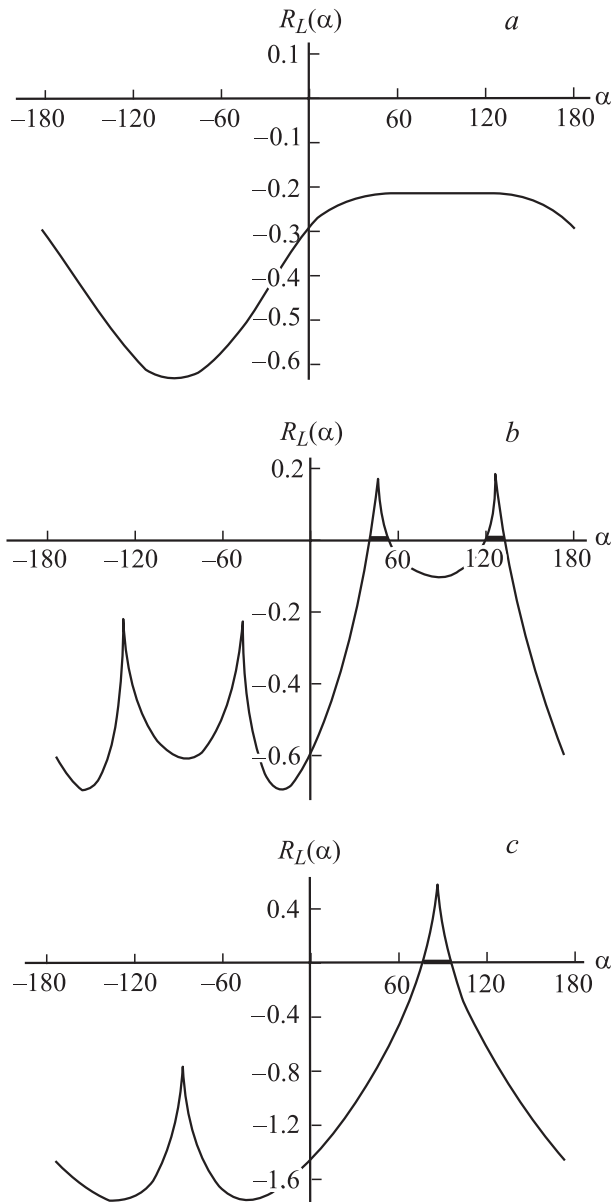


Рис. 2. Графики зависимостей $R_L = R_L(\alpha)$ и интервалы углов α существования поверхностных электромагнитных волн. a : $a = 0.9$, $b = 0.3$, $a' = 0.5$; b : $a = 0.9$, $b = 0.3$, $a' = 0.7$; c : $a = 0.9$, $b = 0.3$, $a' = 0.9$.

с отрицательными α , соответствующих обратному ходу волн. При этом все векторы \mathbf{b} , определяющие разрешенные направления распространения поверхностных волн, лежат в плоскости раздела по одну сторону от вектора \mathbf{c} так, что

$$[\mathbf{bq}]\mathbf{c} > 0. \quad (16)$$

Используя соотношение (15), ниже мы получаем выражения для граничных углов интервалов α_1 и α_2 и устанавливаем условия, при которых реализуется каждый из перечисленных выше случаев.

Так как дисперсионное уравнение сохраняет свой вид при замене $\alpha \rightarrow \pi - \alpha$, то можно считать, что

$\alpha \in [-\pi/2, \pi/2]$. Пусть угол α таков, что $a - b \cos \alpha < a'$. Тогда $\hat{v}_L = v_L = \sqrt{a - b \cos \alpha}$ и выражения (9) для η_1, η_2 при $v = \hat{v}_L$ принимают вид

$$\eta_{1L} = \frac{1}{a} \sqrt{b \cos \alpha (2a - b \cos \alpha)}, \quad \eta_{2L} = 0$$

(обращение в нуль коэффициента η_2 соответствует тому, что одна из парциальных волн в фарадеевской среде становится объемной). В результате условие (15) записывается в виде

$$\left(\operatorname{tg} \alpha - \frac{\sqrt{a'(a' - a + b \cos \alpha)}}{b \cos \alpha} \right) \times \sqrt{b \cos \alpha (2a - b \cos \alpha)} + b \sin \alpha \sqrt{\frac{a'}{a' - a + b \cos \alpha}} - (a - b \cos \alpha) - a' > 0. \quad (17)$$

Если $a - b \cos \alpha > a'$, то $\hat{v}_L = v'_L = \sqrt{a'}$ и функция $G_L(\alpha)$ становится бесконечно большой из-за наличия расходящегося члена с $(a' - v^2)^{-1/2}$. Она положительна, если положителен множитель в квадратных скобках в (13) при $v = \sqrt{a'}$. Имеем

$$b \sin \alpha \left[a - a' + \sqrt{(a - a')^2 - b^2 \cos^2 \alpha} \right] > \sqrt{(a - a')^2 - b^2 \cos^2 \alpha} \times \left\{ \left[a(a - a') - \frac{1}{2} b^2 \cos^2 \alpha + \frac{1}{2} b \cos \alpha \sqrt{4aa' + b^2 \cos^2 \alpha} \right]^{1/2} + \left[a(a - a') - \frac{1}{2} b^2 \cos^2 \alpha - \frac{1}{2} b \cos \alpha \sqrt{4aa' + b^2 \cos^2 \alpha} \right]^{1/2} \right\}. \quad (18)$$

Неравенства (17) и (18) определяют интервалы углов α (совокупность направлений \mathbf{b} на границе фарадеевской и изотропной среды), для которых возможно возбуждение поверхностных электромагнитных волн. Граничные углы α_1 и α_2 этих интервалов можно найти, записав соотношения (17), (18) в виде равенств. Тогда, избавляясь в (17) от радикалов, получаем

$$c_0 x^4 + c_1 x^3 + c_2 x^2 + c_3 x + c_4 = 0, \quad (19)$$

где $x = \cos \alpha_1$ и

$$\begin{aligned} c_0 &= 4a'^2 b^4, \\ c_1 &= 4a' b^3 [3(a - a')^2 - b^2], \\ c_2 &= b^2 [(a - a')^2 (a^2 - 18aa' + 9a'^2) + 2(a - a')(a + 3a')b^2 + b^4], \\ c_3 &= 4b(a - a') [a'(a - a')^3 - (a - a')(a + 2a')b^2 - b^4], \\ c_4 &= 4(a - a')^2 [(a - a')a' + b^2]^2. \end{aligned} \quad (20)$$

Из (18) находим

$$d_0 y^4 + d_2 y^2 + d_4 = 0, \quad (21)$$

где $y = \cos \alpha_2$ и

$$\begin{aligned} d_0 &= 4a'^2 b^4, \\ d_2 &= b^2 [(a - a')^2 (a^2 - 6aa' - 3a'^2) - 2(a - a')(a - 3a')b^2 + b^4], \\ d_4 &= 4a'(a - a')^3 [a(a - a') - b^2]. \end{aligned} \quad (22)$$

При $0 \leq b < a$, $a' > 0$ обращению в нуль левой части соотношения (17) соответствует выбор большего вещественного корня x уравнения (19), если $a' < a$, и меньшего вещественного корня в противном случае. Равенство в (18) достигается, если из четырех корней уравнения (21) выбран

$$\begin{aligned} y &= \frac{1}{2\sqrt{2}a'b} \left\{ -(a - a')^2 (a^2 - 6aa' - 3a'^2) + 2(a - a')(a - 3a')b^2 - b^4 - \sqrt{[(9a' - a)(a - a') + b^2][b^2 - (a - a')^2]^3} \right\}^{1/2}. \end{aligned} \quad (23)$$

Таким образом, левая граница α_1 интервала существования поверхностных электромагнитных волн находится из уравнения (19) при отделении одного из вещественных корней этого уравнения (большого при $a' < a$ и меньшего при $a' > a$). Правая граница α_2 может быть непосредственно рассчитана с использованием формулы (23).

Рассмотрим, как изменяются углы α_1 и α_2 в зависимости от a' при фиксированных значениях a и b . Если $a' < a - b$, то условия (17) и (18) не выполняются ни при каких значениях α (случай а)). При $a' = a - b$ корнями уравнений (19) и (21) являются $x = 1$ и $y = 1$ ($\alpha_1 = \alpha_2 = 0$). Далее, при увеличении a' углы α_1 и α_2 монотонно возрастают (рис. 3). Угол α_2

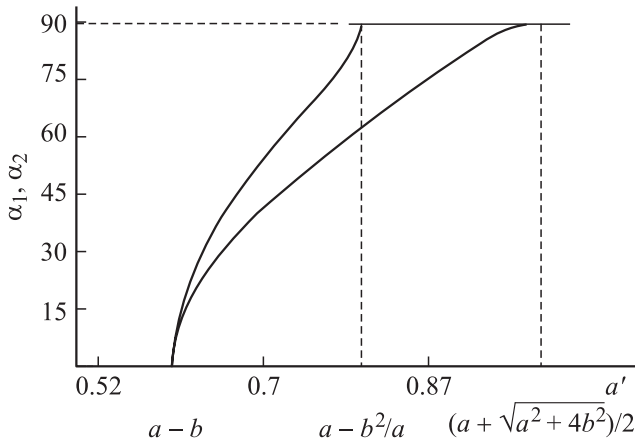


Рис. 3. Графики зависимостей граничных углов α_1, α_2 от параметра a' при $a = 0.9, b = 0.3$.

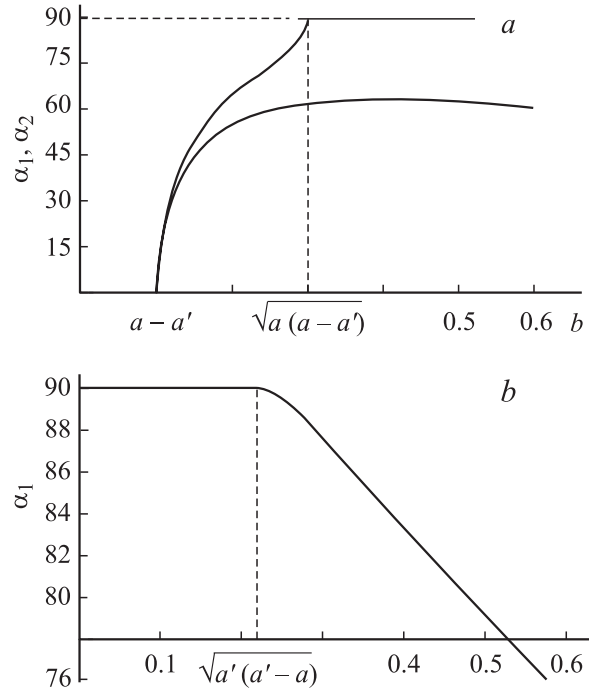


Рис. 4. Графики зависимостей граничных углов α_1, α_2 от параметра b фиксированных a, a' . а: $a = 0.9, a' = 0.8$; б: $a = 0.9; a' = 0.95$.

становится равным $\pi/2$, когда $y = 0$ и, следовательно, когда равен нулю свободный член d_4 уравнения (21). Это достигается при $a' = a - b^2/a$. Таким образом, при выполнении условия

$$a - b < a' < a - \frac{b^2}{a}$$

реализуется случай б и имеются два интервала (α_1, α_2) и $(\pi - \alpha_2, \pi - \alpha_1)$ значений α , отвечающих существованию поверхностных волн. Наконец, угол α_1 становится равным $\pi/2$, когда равен нулю свободный член c_4 уравнения (19), т.е. при $(a - a')a' + b^2 = 0$. Следовательно, условие

$$a - \frac{b^2}{a} < a' < \frac{1}{2} \left(a + \sqrt{a^2 + 4b^2} \right) \quad (24)$$

соответствует случаю в, когда имеется один интервал $(\alpha_1, \pi - \alpha_1)$ существования поверхностных волн, при этом α_1 по-прежнему определяется из уравнения (19). При $a' > (a + \sqrt{a^2 + 4b^2})/2$ поверхностные волны распространяться не могут (случай а).

Характер зависимости граничных углов α_1 и α_2 от b при фиксированных параметрах a и a' существенно различен при $a' < a$ и $a' > a$ (рис. 4), однако в обоих случаях возбуждение поверхностных волн возможно при превышении величиной b некоторого порогового значения. При $a' < a$ этот порог равен

$$b^* = a - a',$$

причем при $b^* < b < \sqrt{a(a - a')}$ реализуется случай б, а при $b > \sqrt{a(a - a')}$ — случай в. Значение

$b = \sqrt{a(a - a')}$ соответствует обращению в нуль коэффициента d_4 (22), при этом $\alpha_2 = \pi/2$.

Пороговое значение b при $a' > a$ определяется из условия $c_4 = 0$ и дается формулой

$$b^* = \sqrt{a'(a' - a)},$$

причем при $b > b^*$ реализуется случай в. С учетом (3) нетрудно отыскать пороговые значения напряженности внешнего магнитного поля

$$\mathfrak{H}^* = \begin{cases} \frac{\pi n_0(\varepsilon' - n_0^2)}{V\lambda_0\varepsilon'}, & \varepsilon' > n_0^2, \\ \frac{\pi n_0^2\sqrt{n_0^2 - \varepsilon'}}{V\lambda_0\varepsilon'}, & \varepsilon' < n_0^2. \end{cases} \quad (25)$$

При $a' = a$ порог напряженности внешнего магнитного поля отсутствует и при любом значении b реализуется случай в. Из (19), (20) находим, что $\alpha_1 = \arccos(b/2a)$. Следовательно, угловая ширина интервала направлений \mathbf{b} , вдоль которых могут распространяться поверхностные волны, равна $\Delta\alpha = 2\arccos(b/2a)$. При $b \ll a$ имеем

$$\Delta\alpha = \frac{b}{a} = \frac{V\lambda_0\mathfrak{H}}{\pi n_0}.$$

Например, при длине волны $\lambda_0 = 496$ nm кристалл титаната стронция SrTiO_3 имеет показатель преломления $n_0 = 2.48$ и постоянную Верде $V = 0.31$ min/Oe · cm. Если этот кристалл граничит с изотропной неактивной средой с таким же показателем преломления, то при напряженности магнитного поля $\mathfrak{H} = 10^5$ Oe ширина интервала составляет $\Delta\alpha = 12''$.

В общем случае при произвольных значениях параметров a, b, a', α дисперсионное уравнение (12), (13) допускает только численное решение. Это уравнение упрощается, когда поверхностная волна распространяется в направлении, перпендикулярном к направлению внешнего магнитного поля ($\alpha = \pi/2, \mathbf{c} = \mathbf{a}$). В этом случае

$$\eta_{1,2} = \sqrt{\frac{a - v^2}{a}}, \quad v_L^2 = a, \quad v_L'^2 = a' \quad (26)$$

и (12) принимает вид

$$\begin{aligned} & \left[b - \sqrt{a(a - v^2)} \right] \sqrt{\frac{a'}{a' - v^2}} \\ & + \left[b - \sqrt{a'(a' - v^2)} \right] \sqrt{\frac{a}{a - v^2}} - a - a' = 0. \end{aligned} \quad (27)$$

Отметим, что замены $a \leftrightarrow a'$ оставляют уравнение (27) неизменным, т. е. фазовая скорость поверхностной волны, распространяющейся в направлении, перпендикулярном к \mathbf{c} , на границе сред с тензорами непроницаемостей $\varepsilon^{-1} = a' + ib\mathbf{c}^\times$, $\varepsilon'^{-1} = a$ та же, что и для

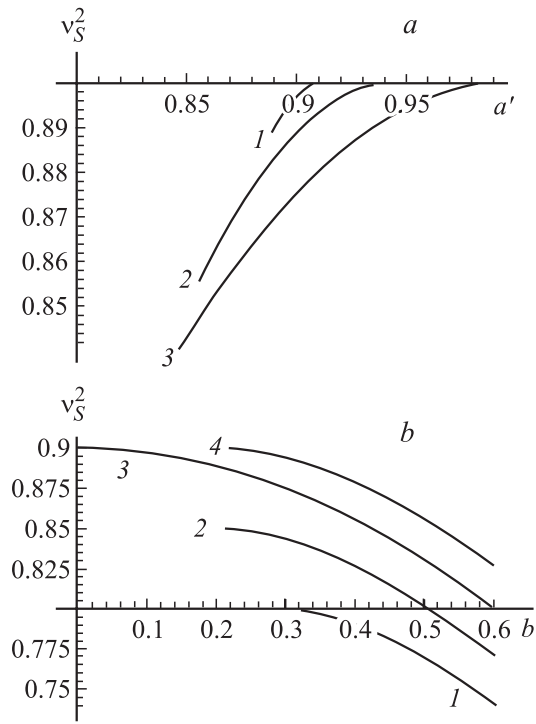


Рис. 5. Решения дисперсионного уравнения при распространении поверхностных волн в направлении, перпендикулярном к \mathfrak{H} ($a = 0.9$). *a*: графики зависимостей $v_s^2 = v_s^2(a')$ ($b = 0.1$ (1), 0.2 (2), 0.3 (3)); *b*: графики зависимостей $v_s^2 = v_s^2(b)$ ($a' = 0.8$ (1), 0.85 (2), 0.9 (3), 0.95 (4)).

сред с тензорами непроницаемостей $\varepsilon^{-1} = a + ib\mathbf{c}^\times$, $\varepsilon'^{-1} = a'$.

Уравнение (27) с положительными a, b, a' имеет решение, если реализуется случай в. Поэтому при заданных a, b для a' должны выполняться неравенства (24) (см. также рис. 3), а при заданных a, a' для b — неравенства

$$b > \sqrt{a(a - a')} \quad \text{при } a' < a, \quad (28)$$

$$b > \sqrt{a'(a' - a)} \quad \text{при } a' > a \quad (29)$$

(рис. 4). Условия (28), (29) соответствуют положительности множителей в квадратных скобках в (27).

Исключая в (27) радикалы, получаем

$$\begin{aligned} & (a - a')^2 v^4 + 2(a + a')[b^2 - (a - a')^2]v^2 \\ & - [b^2 - (a - a')^2][(a - a')^2 - b^2] = 0. \end{aligned} \quad (30)$$

Квадрату приведенной частоты v_s^2 поверхностной волны отвечает положительный корень уравнения (30)

$$\begin{aligned} v_s^2 = \frac{1}{(a - a')^2} \left\{ -(a + a')[b^2 - (a - a')^2] \right. \\ \left. + 2b\sqrt{aa'[b^2 - (a - a')^2]} \right\}. \end{aligned} \quad (31)$$

При $a = a'$ из (30) имеем

$$v_S^2 = a - \frac{b^2}{4a}.$$

Предельным является случай, соответствующий переходу от неравенства (28) к равенству $b = \sqrt{a(a - a')}$ (или, что то же самое, замене первого знака неравенства в (24) на знак равенства), для которого из (31) получаем $v_S^2 = v_L^2 = a'$. Равенство приведенной частоты волны предельной частоте означает, что в изотропной среде II распространяется объемная волна (см. (11)), вектор Умова–Пойнтинга которой параллелен границе раздела (предельная электромагнитная волна [6]). Аналогично, переходя к равенству в (29) (заменяя второй знак неравенства в (24) на знак равенства), получаем $v_S^2 = v_L^2 = a$. В этом случае объемная волна распространяется в фарадеевской среде I (см. (26)). На рис. 5, a показаны рассчитанные согласно (31) зависимости $v_S^2 = v_S^2(a')$ для ряда значений параметра b , а на рис. 5, b — зависимости $v_S^2 = v_S^2(b)$ для разных a' . Крайние левые точки кривых на рис. 5, a соответствуют распространению предельной волны в изотропной среде, крайние правые — в фарадеевской среде. Соответственно крайние левые точки кривых 1 и 2 на рис. 5, b относятся к предельной волне в изотропной среде ($a' < a$), а крайняя левая точка кривой 4 — к предельной волне в фарадеевской среде ($a' > a$).

Заключение

Объемные линейно поляризованные электромагнитные волны всегда могут распространяться в фарадеевских средах как в прямом, так и в обратном направлениях, причем они испытывают удвоенный поворот плоскости поляризации при прохождении через среду туда и обратно. Для поверхностных волн граница фарадеевской и изотропной оптически неактивной среды проявляет вентиляльные свойства — такие волны либо вообще не могут распространяться ни вдоль направления \mathbf{b} , ни вдоль $-\mathbf{b}$, если не выполняются условия (17) или (18), либо их распространение возможно только в положительном направлении \mathbf{b} , определяемом условием (16). При этом возбуждение поверхностных волн возможно только при превышении внешним полем пороговых значений, определяемых разностью материальных параметров a и a' (см. также (25)). Таким образом, изменение как интенсивности внешнего магнитного поля, так и его направления позволяет эффективно воздействовать на угловые спектры разрешенных направлений распространения поверхностных волн.

Приложение. Расчет тензоров Γ и Γ'

В работах [5,6] операторный интегральный формализм, разработанный Барнеттом и Лоте [12] для поверхностных акустических волн, был перенесен на поверхностные электромагнитные возбуждения. Развитый

в [5,6] подход позволяет единообразно рассчитывать тензоры импедансов поверхностных электромагнитных волн в непоглощающих анизотропных диэлектрических средах и с их помощью получать дисперсионные уравнения для таких волн. Для волн на границе анизотропных материалов с тензорами диэлектрических проницаемостей ε ($z = \mathbf{qr} < 0$) и ε' ($z > 0$) дисперсионное уравнение имеет вид (7), при этом

$$\Gamma = -Q^- + iQ^-S, \quad \Gamma' = Q'^- + iQ'^-S'. \quad (A1)$$

В (A1) индекс $-$ обозначает псевдообращение планальных тензоров в двумерном подпространстве границы раздела (т.е. $QQ^- = Q^-Q = I$, где $I = -\mathbf{q}^{\otimes 2} = \mathbf{b} \otimes \mathbf{b} + \mathbf{a} \otimes \mathbf{a}$ — проективный оператор). Тензоры Q, S имеют интегральное представление

$$Q = -\frac{1}{\pi} \int_0^\pi (\mathbf{e}_2 \mathbf{e}_2)^- d\phi, \quad S = -\frac{1}{\pi} \int_0^\pi (\mathbf{e}_2 \mathbf{e}_2)^- (\mathbf{e}_2 \mathbf{e}_1) d\phi. \quad (A2)$$

В подынтегральные выражения в (A2) входят тензорные билинейные формы двух векторных аргументов, определяемые для любых векторов \mathbf{u} и \mathbf{v} ($\mathbf{uv} = 0$) следующим образом:

$$(\mathbf{uv}) = -\frac{\mathbf{u} \tilde{\varepsilon}^{-1} \mathbf{v} \cdot \mathbf{a} \otimes \mathbf{a} + v^2 I \mathbf{u} \times \varepsilon^{-1} \mathbf{v} \times I}{\mathbf{a} \varepsilon^{-1} \mathbf{a} - v^2} + v^2 \mathbf{bu} \cdot \mathbf{bv} I, \quad (A3)$$

при этом векторы \mathbf{e}_1 и \mathbf{e}_2 выражаются через \mathbf{b} и \mathbf{q}

$$\mathbf{e}_1 = \mathbf{b} \cos \phi + \mathbf{q} \sin \phi, \quad \mathbf{e}_2 = -\mathbf{b} \sin \phi + \mathbf{q} \cos \phi.$$

В (A3) $\tilde{\varepsilon}^{-1}$ — транспонированный взаимный тензор к ε^{-1} [9,10]; \mathbf{bu}, \mathbf{bv} — скалярные произведения векторов.

Тензоры Q', S' также рассчитываются по формулам (A2) и (A3), при этом в (A3) вместо тензора ε входит ε' .

Подставляя выражение (2) для тензора ε^{-1} и $\mathbf{c} = \mathbf{b} \cos \alpha + \mathbf{a} \sin \alpha$ для вектора \mathbf{c} в (A3), найдем Γ для фарадеевской изотропной среды. Мы учитываем, что тензоры вида (A3) планальные и представляем их в виде разложений по диадам-проекторам $\mathbf{b} \otimes \mathbf{b}, \mathbf{b} \otimes \mathbf{a}, \mathbf{a} \otimes \mathbf{b}, \mathbf{a} \otimes \mathbf{a}$. Имеем $\mathbf{a} \varepsilon^{-1} \mathbf{a} = a, \tilde{\varepsilon}^{-1} = a^2 - b^2 \mathbf{c} \otimes \mathbf{c} + iabc \times$ и из (A3) при $\mathbf{u} = \mathbf{v} = \mathbf{e}_2$ получаем

$$\begin{aligned} (\mathbf{e}_2 \mathbf{e}_2) &= (a - v^2)^{-1} \left\{ v^2 (a - v^2 \sin^2 \phi) \mathbf{b} \otimes \mathbf{b} \right. \\ &\quad - iv^2 b \cos \alpha \sin \phi \cos \phi (\mathbf{b} \otimes \mathbf{a} - \mathbf{a} \otimes \mathbf{b}) \\ &\quad - [(a - v^2)(a - v^2 \sin^2 \phi) \\ &\quad \left. - b^2 \cos^2 \alpha \sin^2 \phi] \mathbf{a} \otimes \mathbf{a} \right\}. \end{aligned} \quad (A4)$$

При $\mathbf{u} = \mathbf{e}_2, \mathbf{v} = \mathbf{e}_1$ имеем

$$\begin{aligned} (\mathbf{e}_2 \mathbf{e}_1) &= (a - v^2)^{-1} \left\{ v^4 \sin \phi \cos \phi \mathbf{b} \otimes \mathbf{b} \right. \\ &\quad + iv^2 b \cos \alpha \cos^2 \phi \mathbf{b} \otimes \mathbf{a} + iv^2 b \cos \alpha \sin^2 \phi \mathbf{a} \otimes \mathbf{b} \\ &\quad - [\sin \phi \cos \phi (v^2 (a - v^2) + b^2 \cos^2 \alpha) \\ &\quad \left. + ib \sin \alpha (a - v^2)] \mathbf{a} \otimes \mathbf{a} \right\}. \end{aligned}$$

Для расчета $(\mathbf{e}_2\mathbf{e}_2)^-$ представляем тензор $(\mathbf{e}_2\mathbf{e}_2)$ (A4) в виде 2×2 -матрицы и обращаем ее

$$\begin{aligned} (\mathbf{e}_2\mathbf{e}_2)^- &= (a - v^2 \sin^2 \phi - b \cos \alpha \sin \phi)^{-1} \\ &\times (a - v^2 \sin^2 \phi + b \cos \alpha \sin \phi)^{-1} \\ &\times \left\{ \frac{1}{v^2} [(a - v^2)(a - v^2 \sin^2 \phi) - b^2 \cos^2 \alpha \sin^2 \phi] \mathbf{b} \otimes \mathbf{b} \right. \\ &- ib \cos \alpha \sin \phi \cos \phi (\mathbf{b} \otimes \mathbf{a} - \mathbf{a} \otimes \mathbf{b}) \\ &\left. - (a - v^2 \sin^2 \phi) \mathbf{a} \otimes \mathbf{a} \right\}. \end{aligned} \quad (\text{A5})$$

Находим произведение тензоров $(\mathbf{e}_2\mathbf{e}_2)^-$ и $(\mathbf{e}_2\mathbf{e}_1)$

$$\begin{aligned} (\mathbf{e}_2\mathbf{e}_2)^-(\mathbf{e}_2\mathbf{e}_1) &= (a - v^2 \sin^2 \phi - b \cos \alpha \sin \phi)^{-1} \\ &\times (a - v^2 \sin^2 \phi + b \cos \alpha \sin \phi)^{-1} \\ &\times \left\{ v^2 (a - v^2 \sin^2 \phi) \sin \phi \cos \phi \mathbf{b} \otimes \mathbf{b} \right. \\ &+ ib \cos \alpha \cos \phi (a \cos \phi + ib \sin \alpha \sin \phi) \mathbf{b} \otimes \mathbf{a} \\ &- iv^2 b \cos \alpha \sin^2 \phi \mathbf{a} \otimes \mathbf{b} + [(v^2 (a - v^2 \sin^2 \phi) \\ &+ b^2 \cos^2 \alpha) \sin \phi \cos \phi \\ &\left. + ib \sin \alpha (a - v^2 \sin^2 \phi)] \mathbf{a} \otimes \mathbf{a} \right\}. \end{aligned} \quad (\text{A6})$$

Тензоры Q и S (A2), очевидно, выражаются через интегралы

$$\begin{aligned} J_{(00;11;20;02;31)} &= \frac{1}{\pi} \\ &\times \int_0^\pi \frac{(1; \sin \phi \cos \phi; \sin^2 \phi; \cos^2 \phi; \sin^3 \phi \cos \phi) d\phi}{(a - v^2 \sin^2 \phi - b \cos \alpha \sin \phi)(a - v^2 \sin^2 \phi + b \cos \alpha \sin \phi)}, \end{aligned} \quad (\text{A7})$$

Причем $J_{02} = J_{00} - J_{20}$ и $J_{11} = J_{31} = 0$. Предполагается, что знаменатель подынтегрального выражения в (A7) не обращается в нуль ни при каких значениях ϕ , т.е. тензоры Q , S , Γ определены при условии

$$0 \leq v^2 < v_L^2 \equiv a - b |\cos \alpha|. \quad (\text{A8})$$

Величина v_L называется предельной частотой [6]. Физический смысл условия (A8) заключается в том, что каждая из парциальных волн в фарадеевской среде локализована вблизи границы раздела, т.е. не является объемной. Вводя переменную интегрирования $x = \text{ctg} \phi$, получим

$$J_{(00;20)} = \frac{1}{\pi a^2} \int_{-\infty}^{+\infty} \frac{(1 + x^2; 1) dx}{(x - i\eta_1)(x + i\eta_1)(x - i\eta_2)(x + i\eta_2)},$$

где величины η_1 , η_2 даются формулами (9) и представляют собой коэффициенты затухания парциальных волн.

Для J_{00} и J_{20} окончательно находим

$$\begin{aligned} J_{00} &= \frac{1}{a^2(\eta_1 + \eta_2)} \left(1 + \frac{1}{\eta_1 \eta_2} \right), \\ J_{20} &= \frac{1}{a^2 \eta_1 \eta_2 (\eta_1 + \eta_2)}. \end{aligned} \quad (\text{A9})$$

Далее, подставляя формулы (A5) и (A6) в (A2) с учетом (A9), получаем выражения для тензоров Q и S

$$\begin{aligned} Q &= \frac{1}{a(\eta_1 + \eta_2)} \left[-\frac{1}{v^2} (a - v^2 + a\eta_1 \eta_2) \mathbf{b} \otimes \mathbf{b} \right. \\ &\left. + \left(1 + \frac{a - v^2}{a\eta_1 \eta_2} \right) \mathbf{a} \otimes \mathbf{a} \right], \end{aligned} \quad (\text{A10})$$

$$\begin{aligned} S &= \frac{ib}{a(\eta_1 + \eta_2)} \left[-\cos \alpha \mathbf{b} \otimes \mathbf{a} + \frac{v^2 \cos \alpha}{a\eta_1 \eta_2} \mathbf{a} \otimes \mathbf{b} \right. \\ &\left. - \sin \alpha \left(1 + \frac{a - v^2}{a\eta_1 \eta_2} \right) \mathbf{a} \otimes \mathbf{a} \right]. \end{aligned} \quad (\text{A11})$$

Для тензора Q^- имеем

$$Q^- = \frac{a(\eta_1 + \eta_2)}{a - v^2 + a\eta_1 \eta_2} (-v^2 \mathbf{b} \otimes \mathbf{b} + a\eta_1 \eta_2 \mathbf{a} \otimes \mathbf{a}). \quad (\text{A12})$$

Из (A11), (A12) и (A1) получается выражение (8) для тензора Γ фарадеевской оптически активной среды.

Тензор Γ' для другой пограничной среды можно найти, заменив в формулах (9), (A11), (A12) величину a на a' и положив $b = 0$. Тогда

$$Q'^- = -v^2 \sqrt{\frac{a'}{a' - v^2}} \mathbf{b} \otimes \mathbf{b} + \sqrt{a'(a' - v^2)} \mathbf{a} \otimes \mathbf{a}, \quad S' = 0,$$

а тензор Γ' совпадает с Q'^- .

Список литературы

- [1] Поверхностные поляритоны. Электромагнитные волны на поверхностях и границах раздела сред / Под ред. В.М. Аграновича, Д.Л. Миллса. М.: Наука, 1985. 526 с.
- [2] Дьяконов М.И. // ЖЭТФ. 1988. Т. 94. Вып. 4. С. 119–123.
- [3] Аверкиев Н.С., Дьяконов М.И. // Опт. и спектр. 1990. Т. 68. Вып. 5. С. 1118–1121.
- [4] Даринский А.Н. // Кристаллография. 2001. Т. 46. № 5. С. 916–918.
- [5] Furs A.N., Barkovsky L.M. // Microwave and Opt. Technol. Lett. 1997. Vol. 14. P. 301–305.
- [6] Furs A.N., Barkovsky L.M. // J. Opt. A. 1999. Vol. 1. P. 109–115.
- [7] Фурс А.Н., Барковский Л.М. // Кристаллография. Т. 46. № 6. С. 1102–1109.
- [8] Сиротин Ю.И., Шаскольская М.П. Основы кристаллофизики. М.: Наука, 1975. 680 с.
- [9] Федоров Ф.И. Оптика анизотропных сред. Минск: Изд-во АН БССР, 1958. 380 с.
- [10] Федоров Ф.И. Теория гиротропии. Минск: Наука и техника, 1976. 456 с.
- [11] Barkovsky L.M., Borzdov G.N., Lavrinenko A.V. // J. Phys. A. 1987. Vol. 20. P. 1095–1106.
- [12] Lothe J., Barnett D.M. // J. Appl. Phys. 1976. Vol. 47. P. 428–433.